

Que dire de la structure d'un réseau observé ?

Rencontres de la chaire MMB

Sarah Ouadah

LPSM, Sorbonne Université

29 janvier 2025



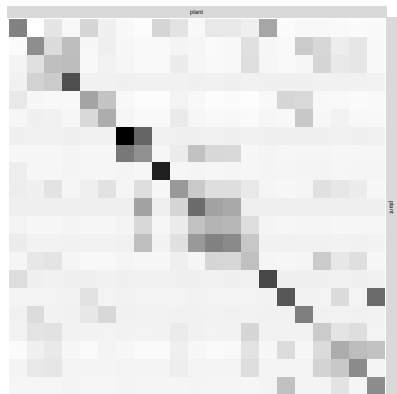
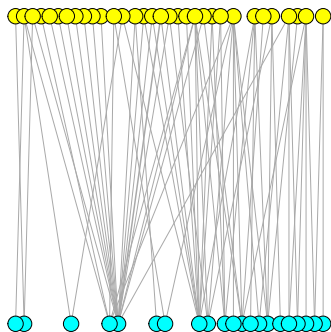
Thème *Réseaux*

Étude de la topologie de graphes aléatoires pour l'analyse de réseaux sociaux et écologiques

- * **Objectifs** caractériser la structure d'un réseau observé, comparer plusieurs réseaux
- * **Mots-clés** modèles de graphes aléatoires, graphon, clustering de nœuds

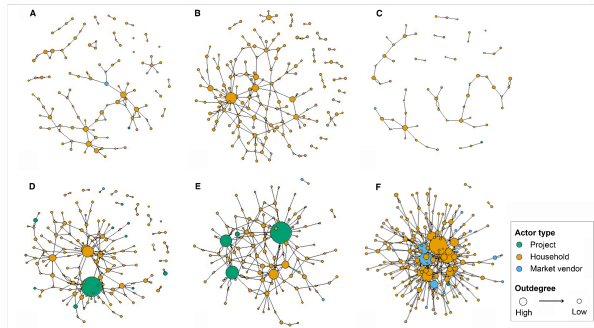
Réseaux écologiques

Plant-pollinator relationships at two altitudes in the Andes of Mendoza, Argentina [MMD⁺⁰²]



Réseaux sociaux

Seed circulation networks in a Bassari village in south-eastern Senegal [PFLAF⁺23]



A) Sorghum, B) Bambara groundnut, C) fonio, D) maize, E) rice, F) peanut

Théorie statistique des réseaux aux échelles micro, méso et macro

Questions À partir de l'observation d'un réseau

- ★ Comment se structure le réseau ?
- ★ Comment constituer des groupes de noeuds ?
- ★ Comment étudier les relations indirectes entre acteurs d'un réseau ?
- ★ Comment comparer plusieurs réseaux ?

Théorie statistique des réseaux aux échelles micro, méso et macro

Approches

- ★ *Embedding* de graphe/nœuds pour analyses multivariées et clustering
- ★ Tests d'adéquation à des **modèles de graphes aléatoires** basés sur des **métriques** appropriées
- ★ Tests de **comparaison de réseaux**

Statistique descriptive et modélisation pour caractériser la structure d'un réseau observé

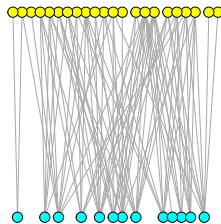
Métriques de réseaux

Métriques

- ★ degré et indicateurs de centralité (échelle locale)
- ★ motifs (échelle méso)
- ★ densité et modularité (échelle globale)

Motifs bipartites

Réseau plante-pollinisateur [MMD⁺02]



Motifs [SCB⁺19]¹

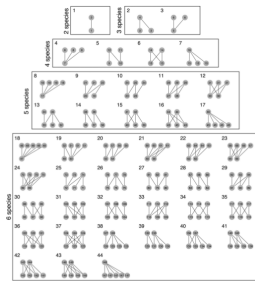


Figure 3. All possible two- to six-species bipartite motifs. Large numbers represent individual motifs. Small numbers within nodes represent unique position within motifs. In total there are 148 positions across 44 motifs.

¹Figure issue de [SCB⁺19]

Motifs bipartites

Motifs Sous-graphes représentants des configurations d'interactions entre un petit nombre de nœuds

- ★ Compter les motifs [PDK⁺08], [SCB⁺19], package bmotif
- ★ Distribution des comptages des motifs triangle [NW88, Sta01, PDK⁺08]
- ★ Les motifs dépendent de
 - ◊ taille du réseau
 - ◊ densité du réseau
 - ◊ distribution des degrés des nœuds du haut (insectes spécialistes vs généralistes)
 - ◊ distribution des degrés des nœuds du bas (plantes spécialistes vs généralistes)

Modèles de graphes aléatoires

Modèles

- ★ Erdös-Rényi [ER59]
- ★ attachement préférentiel [BA99]
- ★ exponentiel de graphe (ERGM) [WP96]
- ★ W -graphe [LS06, DJ08] dont les modèles à blocs stochastiques (SBM) [NS01], EDD [CL02], etc.

Modèles de W -graphe [LS06, DJ08]

Modèle de W -graphe

$$\{U_i\}_{1 \leq i \leq m} \text{ iid}, U_1 \sim \mathcal{U}_{[0,1]}$$

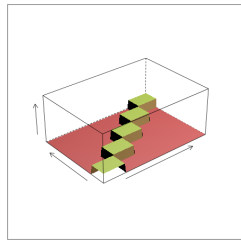
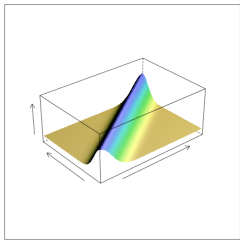
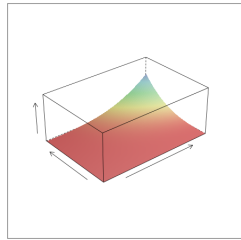
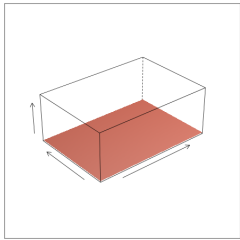
$$\{V_j\}_{1 \leq j \leq n} \text{ iid}, V_1 \sim \mathcal{U}_{[0,1]}$$

$$\{Y_{ij}\}_{i,j} \text{ ind} | \{U_i\}_i, \{V_j\}_j$$

$$Y_{ij} | U_i, V_j \sim \mathcal{B}(W(U_i, V_j))$$

$W : [0, 1]^2 \mapsto [0, 1]$ la fonction graphon

Graphons



Erdős-Rényi, *scale-free*, *small world*, comm. ²

²Figures de P. Latouche

Modèle bipartite de distribution des degrés attendu B-EDD [OLR22]

Modèle B-EDD [OLR22] (graphon produit)

$$\begin{aligned}\{U_i\}_{1 \leq i \leq m} &\text{ iid, } U_1 \sim \mathcal{U}_{[0,1]} \\ \{V_j\}_{1 \leq j \leq n} &\text{ iid, } V_1 \sim \mathcal{U}_{[0,1]}\end{aligned}$$

$$\{Y_{ij}\}_{i,j} \text{ ind|} \{U_i\}_i, \{V_j\}_j$$

$$Y_{ij}|U_i, V_j \sim \mathcal{B}(\rho g(U_i)h(V_j))$$

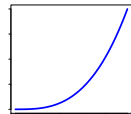
ρ densité du graphe, $g, h : [0, 1] \mapsto \mathbb{R}^+$ bornées, $\int g = \int h = 1$ traduisent l'hétérogénéité des degrés (nombre de connexions) des nœuds

Modèle B-EDD³ [OLR22]

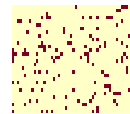
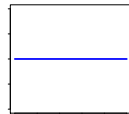
$$h_0(v) =$$



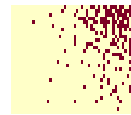
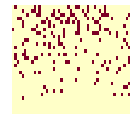
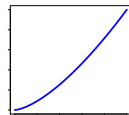
$$h(v) =$$



$$g_0(u) =$$



$$g(u) =$$



³Figure de S. Robin

Objectifs

- ★ comprendre l'organisation d'un réseau
- ★ comparer plusieurs réseaux

→ *Embedding* de graphe/nœuds pour analyses multivariées et clustering [en cours]

→ Tests d'adéquation à des **modèles de graphes aléatoires** basés sur des **métriques** appropriées [LRO18, ORL20, OLR22]

→ Tests de **comparaison de réseaux** [OLR22]

Motif-based tests for bipartite networks

[OLR22] *Electronic Journal of Statistics*

Fréquences de motif

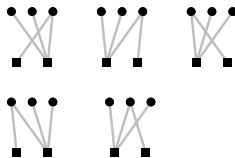
Positions

$$\alpha = 1, \dots, c_s$$

Nombre de positions

$$c_s := \binom{m}{p} \times \binom{n}{q} \times r_s$$

Automorphismes r_s



Fréquences de motif

$$F_s := \sum_{\alpha} Y_{s\alpha} / c_s$$

où $Y_{s\alpha} = 1$ si s en α , 0 sinon

Moments des fréquences de motif sous B-EDD

- moments explicites : $\bar{\phi}_s$ fréquence attendue du motif s sous B-EDD

$$\begin{aligned}\bar{\phi}_9 &= \mathbb{P} \left(\begin{array}{c} \bullet \\ \bullet \\ \bullet \\ \hline \blacksquare \\ \blacksquare \end{array} \right) \\ &= (\phi_1)^4 \times \frac{(\phi_1)^2 \phi_2}{(\phi_1)^4} \times \frac{\phi_1 \phi_4}{(\phi_1)^4} \\ &= \frac{\phi_2 \phi_4}{\phi_1}\end{aligned}$$

avec $\phi_1 = \mathbb{P} \left(\begin{array}{c} \bullet \\ \hline \blacksquare \end{array} \right)$, $\phi_2 = \mathbb{P} \left(\begin{array}{c} \bullet \\ \diagup \\ \blacksquare \\ \diagdown \\ \blacksquare \end{array} \right)$, $\phi_4 = \mathbb{P} \left(\begin{array}{c} \bullet \\ \bullet \\ \bullet \\ \hline \blacksquare \\ \blacksquare \\ \blacksquare \end{array} \right)$ les fréquences des motifs 1, 2 et 4

- estimateurs des moments : $\bar{F}_9 = F_2 F_4 / F_1$

Tests d'adéquation [OLR22]

Tests d'adéquation à B-EDD ($W = \rho gh$) basés sur les motifs

Théorème

Sous des conditions de parcimonie du graphe \mathbf{Y} , pour tout motif s non étoilé : sous l'hypothèse $\{H_0 : \mathbf{Y} \text{ suit un modèle B-EDD}\}$

$$\frac{F_s - \hat{\mathbb{E}}(F_s)}{\sqrt{\hat{\mathbb{V}}(F_s)}} \xrightarrow{D} \mathcal{N}(0, 1), m \sim n \rightarrow \infty$$

où

F_s la fréquence empirique du motif s

$$\hat{\mathbb{E}}(F_s) = \bar{F}_s$$

$$\hat{\mathbb{V}}(F_s) = \kappa_{m,n,s} \bar{F}_s + \kappa'_{m,n,s} \bar{F}_s^2 + \sum_{S \in \mathcal{S}_2(s)} \kappa''_{m,n,s,S} \bar{F}_S - \bar{F}_s^2, \text{ avec } \mathcal{S}_2(s)$$

l'ensemble des super-motifs

- ★ estimateurs des moments constants
- ★ propriétés des suites de différence de martingale

Tests de comparaison [OLR22]

Tests de comparaison de \mathbf{Y}^A et \mathbf{Y}^B e.g. $\{H_0 : g^A = g^B\}$

\mathbf{Y}^A et \mathbf{Y}^B générés sous B-EDD(ρ^A, g^A, h^A) et B-EDD(ρ^B, g^B, h^B) resp.
Contrastes entre F_9^A et l'estimation de

$$\bar{\phi}_9^{H_0, A} = \mathbb{P}_{H_0} \left(\begin{array}{c} \bullet \\ \times \\ \bullet \\ \times \\ \bullet \end{array} \middle| \begin{array}{c} \blacksquare \\ \blacksquare \end{array} \right) = (\phi_1^A)^4 \times \frac{(\phi_1^B)^2 \phi_2^B}{(\phi_1^B)^4} \times \frac{\phi_1^A \phi_4^A}{(\phi_1^A)^4}$$

et entre F_9^B et l'estimation de

$$\bar{\phi}_9^{H_0, B} = (\phi_1^B)^4 \times \frac{(\phi_1^A)^2 \phi_2^A}{(\phi_1^A)^4} \times \frac{\phi_1^B \phi_4^A}{(\phi_1^B)^4}$$

Illustration

Réseaux écologiques de Web of Life database (www.web-of-life.es)

- coefficients c_s , comptages N_s et fréquences F_s

plante-pollinisateur [Rob29] : $m = 546, n = 1044$

s	arête		étoiles du haut			étoiles du bas		
	1	2	7	17	3	4	8	
c_s	$4.76 \cdot 10^5$	$2.48 \cdot 10^8$	$8.62 \cdot 10^{10}$	$2.24 \cdot 10^{13}$	$1.08 \cdot 10^8$	$1.64 \cdot 10^{10}$	$1.86 \cdot 10^{12}$	
N_s	$1.53 \cdot 10^4$	$2.61 \cdot 10^5$	$3.04 \cdot 10^6$	$2.72 \cdot 10^7$	$3.07 \cdot 10^5$	$6.82 \cdot 10^6$	$1.48 \cdot 10^8$	
F_s	$3.20 \cdot 10^{-2}$	$1.05 \cdot 10^{-3}$	$3.52 \cdot 10^{-5}$	$1.21 \cdot 10^{-6}$	$2.84 \cdot 10^{-3}$	$4.16 \cdot 10^{-4}$	$7.99 \cdot 10^{-5}$	

plante-disperseur [Sil02] : $m = 207, n = 110$

s	arête		étoiles du haut			étoiles du bas		
	1	2	7	17	3	4	8	
c_s	$2.28 \cdot 10^4$	$1.24 \cdot 10^6$	$4.47 \cdot 10^7$	$1.20 \cdot 10^9$	$2.35 \cdot 10^6$	$1.60 \cdot 10^8$	$8.17 \cdot 10^9$	
N_s	$1.12 \cdot 10^3$	$6.50 \cdot 10^3$	$4.07 \cdot 10^4$	$2.32 \cdot 10^5$	$1.24 \cdot 10^4$	$1.31 \cdot 10^5$	$1.23 \cdot 10^6$	
F_s	$4.92 \cdot 10^{-2}$	$5.23 \cdot 10^{-3}$	$9.11 \cdot 10^{-4}$	$1.94 \cdot 10^{-4}$	$5.28 \cdot 10^{-3}$	$8.16 \cdot 10^{-4}$	$1.50 \cdot 10^{-4}$	

Illustration

Réseaux écologiques de Web of Life database (www.web-of-life.es)

- ★ statistique du test d'adéquation à B-EDD

plante-pollinisateur						
s	5	6	10	15	16	
W_s	$-6.45 \cdot 10^{-2}$	$9.96 \cdot 10^{-1}$	$-6.63 \cdot 10^{-2}$	$7.52 \cdot 10^{-1}$	2.43	

plante-disperseur						
s	5	6	10	15	16	
W_s	$-2.14 \cdot 10^{-1}$	$-2.14 \cdot 10^{-1}$	$-2.93 \cdot 10^{-1}$	$-2.95 \cdot 10^{-1}$	$-3.56 \cdot 10^{-1}$	

- ★ statistique du test de comparaison des réseaux plante-pollinisateur et plante-disperseur

s	5	6	10	15	16
W_s	-1.56	-1.56	-0.97	-1.28	-0.96

Travail en cours

Ecologie des plantes et polliniseurs dans les prairies calcaires le long d'un gradient latitudinal en France⁴ [dM19]



⁴Images de N. de Manincor

Merci

Références I

-  A. L. Barabási and R. Albert.
Emergence of scaling in random networks.
Science, 286:509–512, 1999.
-  F. Chung and L. Lu.
Connected components in random graphs with given expected degree sequences.
Annals of combinatorics, 6(2):125–145, 2002.
-  P. Diaconis and S. Janson.
Graph limits and exchangeable random graphs.
Rend. Mat. Appl., 7(28):33–61, 2008.
-  N. de Manincor.
Ecologie des plantes et des polliniseurs dans les prairies calcaires le long d'un gradient latitudinal en france: diversité des espèces et structure des réseaux d'interaction plantes-polliniseurs.
Thèse de doctorat, 2019.
-  P. Erdős and A. Rényi.
On random graphs.
I Publicationes Mathematicae (Debrecen), 6:290–297, 1959.
-  P. Latouche, S. Robin, and S. Ouadah.
Goodness of fit of logistic regression models for random graphs.
Journal of Computational and Graphical Statistics, 27(1):98–109, 2018.
-  L. Lovász and B. Szegedy.
Limits of dense graph sequences.
Journal of Combinatorial Theory, Series B, 96(6):933–957, 2006.

Références II

-  D. Medan, N.H Montaldo, M. Devoto, A. Maniese, V. Vasellati, G. G Roitman, and N. H Bartoloni.
Plant-pollinator relationships at two altitudes in the andes of mendoza, argentina.
Arctic, Antarctic, and Alpine Research, 34(3):233–241, 2002.
-  K. Nowicki and T.A.B. Snijders.
Estimation and prediction for stochastic block-structures.
J. Amer. Statist. Ass., 96:1077–87, 2001.
-  K. Nowicki and J. C. Wierman.
Subgraph counts in random graphs using incomplete u-statistics methods.
Discrete Math., 72(1):299–310, 1988.
-  S. Ouadah, P. Latouche, and S. Robin.
Motif-based tests for bipartite networks.
Electronic Journal of Statistics, 16(1):293 – 330, 2022.
-  S. Ouadah, S. Robin, and P. Latouche.
Degree-based goodness-of-fit tests for heterogeneous random graph models: Independent and exchangeable cases.
Scandinavian Journal of Statistics, 47(1):156–181, 2020.
-  F. Picard, J.-J. Daudin, M. Koskas, S. Schbath, and S. Robin.
Assessing the exceptionality of network motifs,.
J. Comput. Biol., 15(1):1–20, 2008.
-  A. Porcuna-Ferrer, V. Labeyrie, S. Alvarez-Fernandez, L. Calvet-Mir, Ndèye F. Faye, S. Ouadah, and V. Reyes-García.
Crop biocultural traits shape seed networks: Implications for social-ecological resilience in south eastern senegal.
Agricultural Systems, 211:103750, 2023.

Références III



C. Robertson.

Flowers and insects: lists of visitors to four hundred and fifty-three flowers. carlinville, il, usa, c. robertson.
National Center for Ecological Analysis and Synthesis Interaction Web Database, 456, 1929.



B. I. Simmons, A. R. Cirtwill, N. J. Baker, H. S. Wauchope, L. V. Dicks, D. B. Stouffer, and W. J. Sutherland.

Motifs in bipartite ecological networks: uncovering indirect interactions.
Oikos, 128(2):154–170, 2019.



WR Silva.

Patterns of fruit-frugivore interactions in two atlantic forest bird communities of south-eastern brazil:
implications for conservation.

Seed dispersal and frugivory: ecology, evolution and conservation, pages 423–435, 2002.



D. Stark.

Compound poisson approximations of subgraph counts in random graphs.

Random Structures & Algorithms, 18(1):39–60, 2001.



S. Wasserman and P. Pattison.

Logit models and logistic regressions for social networks: I. an introduction to markov graphs andp.
Psychometrika, 61(3):401–425, 1996.